

文章编号: 1000-324X(2007)04-0733-04

## TiO<sub>2</sub>/SnO<sub>2</sub> 复合薄膜的低温制备及其光催化性能

蔡振钱, 申乾宏, 高基伟, 杨辉

(浙江大学 纳米科学与技术中心, 硅材料国家重点实验室, 杭州 310027)

**摘要:** 采用溶胶 - 凝胶法合成了 TiO<sub>2</sub> 溶胶和 SnO<sub>2</sub> 溶胶, 使用浸渍提拉法在低温下制备出底层为金红石型 SnO<sub>2</sub>, 表层为锐钛矿型 TiO<sub>2</sub> 的复合膜。考察了不同 SnO<sub>2</sub> 薄膜层数对 TiO<sub>2</sub>/SnO<sub>2</sub> 复合膜光催化活性的影响, 并对其光催化活性提高的机理进行了探讨。结果表明, SnO<sub>2</sub> 层的加入能有效提高 TiO<sub>2</sub> 薄膜的光催化活性, 随着 SnO<sub>2</sub> 薄膜层数的增加, 光催化活性先增大后减小, 但始终高于单一的 TiO<sub>2</sub> 薄膜。这是由于 SnO<sub>2</sub> 的导带电位低于 TiO<sub>2</sub> 的导带电位, SnO<sub>2</sub> 的价带电位高于 TiO<sub>2</sub> 的价带电位, 紫外光照下, TiO<sub>2</sub> 中产生的光生电子注入到 SnO<sub>2</sub> 层, SnO<sub>2</sub> 中空穴注入到 TiO<sub>2</sub> 层, 有效抑制了薄膜内电子 - 空穴对的复合, 增加了复合薄膜表面空穴的浓度, 因而光催化活性得到了显著的提高。

**关键词:** 二氧化钛; 二氧化锡; 复合膜; 光催化

中图分类号: O643 文献标识码: A

## Low-temperature Preparation of TiO<sub>2</sub>/SnO<sub>2</sub> Composite Film and Its Photocatalytic Activity

CAI Zhen-Qian, SHEN Qian-Hong, GAO Ji-Wei, YANG Hui

(Center for Nano-science and Technology, State Key Lab of Silicon Materials, Zhejiang University, Hangzhou 310027, China)

**Abstract:** TiO<sub>2</sub>/SnO<sub>2</sub> composite films were prepared on a slide glass with a sol-gel method at low temperature. The influence of different dip-coating times of SnO<sub>2</sub> layers on the photocatalytic activity of TiO<sub>2</sub>/SnO<sub>2</sub> composite films was investigated. In addition, the mechanism of the photocatalytic activity enhancement of TiO<sub>2</sub>/SnO<sub>2</sub> composite film was also analyzed. The results show that the photocatalytic efficiency of TiO<sub>2</sub> film is enhanced by using SnO<sub>2</sub> layer as a substrate. Since the conduction band (CB) of SnO<sub>2</sub> is lower than that of TiO<sub>2</sub>, and the valence band(VB) of SnO<sub>2</sub> is higher than that of TiO<sub>2</sub>, electrons transfer from TiO<sub>2</sub> to SnO<sub>2</sub>, while holes oppositely diffuse into the SnO<sub>2</sub> layer. Thus, the charge recombination is suppressed more efficiently, and more holes can reach the TiO<sub>2</sub> surface to cause oxidation reaction. This is believed to be the main reason for the photocatalytic activity enhancement of the TiO<sub>2</sub> film photocatalyst.

**Key words** titania; tin dioxide; composite film; photocatalysis

### 1 引言

TiO<sub>2</sub> 因化学性质稳定、无毒、成本低等特点, 在光催化处理污水和气体中已开始使用<sup>[1,2]</sup>。目前研究广泛的 TiO<sub>2</sub> 粉末型光催化剂容易沉淀, 对光的利用率也较低, 而且不易回收, 限制了 TiO<sub>2</sub> 的应用, 因此对 TiO<sub>2</sub> 的负载研究, 特别是 TiO<sub>2</sub> 薄膜的

研究尤显重要<sup>[3]</sup>。此外, 纯 TiO<sub>2</sub> 由于光生电子、空穴易复合, 导致其光催化活性较低。采用复合式薄膜催化剂可以解决以上问题。近年来, 复合薄膜催化材料尤其是 TiO<sub>2</sub>/SnO<sub>2</sub> 复合膜的研究引起了广泛关注<sup>[4-8]</sup>。由于这两种半导体材料能级匹配, 光生电子和空穴可以有效分离, 复合几率减少, 从而大大提高光催化活性<sup>[4,5]</sup>。但是, 目前溶胶 - 凝胶

收稿日期: 2006-08-01, 收到修改稿日期: 2006-09-24

基金项目: 浙江省科技计划 (2005C24005)

作者简介: 蔡振钱 (1982-), 男, 硕士研究生。通讯联系人: 杨辉, 教授。E-mail:yanghui@zju.edu.cn

法制备  $\text{TiO}_2/\text{SnO}_2$  叠式复合光催化膜仍需要多次的晶化热处理<sup>[4-10]</sup>, 从而限制了复合膜催化剂在木材、塑料等耐热性较差的基材上的应用。在前期的工作中, 我们已经在低温下制备了具有较好光催化活性的  $\text{TiO}_2$  薄膜<sup>[11]</sup> 和金红石型  $\text{SnO}_2$  薄膜。在此基础上, 本工作进一步制备出底层为  $\text{SnO}_2$ , 表层为  $\text{TiO}_2$  的  $\text{TiO}_2/\text{SnO}_2$  复合膜, 考察了不同  $\text{SnO}_2$  薄膜层数对复合膜光催化活性的影响, 并对其光催化活性提高的机理进行了探讨。

## 2 实验

### 2.1 溶胶的制备

按文献[12], 用溶胶-凝胶法制备  $\text{TiO}_2$  溶胶。

采用结晶四氯化锡、氨水等制备  $\text{SnO}_2$  溶胶。先配好 0.6 mol/L 的四氯化锡溶液 50 mL, 然后加入过量氨水制备氢氧化锡粉体, 抽滤过滤、洗涤粉体, 最后将所得粉体加入水中胶溶, 得到  $\text{SnO}_2$  溶胶。

### 2.2 复合膜的制备

以普通载玻片直接在  $\text{TiO}_2$  溶胶中浸渍提拉一次, 于 60°C 烘干后得到  $\text{TiO}_2$  薄膜, 记为: 1#。以普通载玻片为基底, 先在  $\text{SnO}_2$  溶胶中浸渍提拉制备  $\text{SnO}_2$  薄膜, 重复提拉次数分别为 2、3、4(每次提拉后都在 60°C 烘干), 再将所得的不同层数  $\text{SnO}_2$  薄膜在  $\text{TiO}_2$  溶胶中浸渍提拉 1 次, 并在 60°C 烘干制备得到  $\text{TiO}_2/\text{SnO}_2$  复合膜, 分别记为: 2#、3#、4#。以上提拉速度均为 50 cm/min。

### 2.3 测试表征

采用场发射扫描电镜(荷兰 FEI 公司, SIRION 型)观测薄膜样品的形貌; 采用 D/max-rA 型 X 射线衍射仪(日本理学电机, X 射线源为  $\text{Cu K}\alpha$ , 扫描速度 2°/min, 步宽 0.02°)分析  $\text{SnO}_2$  溶胶在 60°C 烘干后所得粉体的结晶状况; 采用日本 HITACHI 公司的 F4500 型荧光光谱仪测定薄膜的 PL 谱, 激发波长为 355 nm, 激发 / 发射狭缝宽度分别是 2.5/1(nm), 光电倍增管电压 700 V, 扫描速率 60 nm/min。

以浓度为 2.4 mg/L 的罗丹明 B 水溶液的光催化降解评价薄膜的光催化活性。取 25 g 上述溶液装入培养皿中, 然后将 3 片镀膜玻璃片(膜面向上)浸入溶液中, 最后放在 500 W 的汞灯下照射。采用日本 HITACHI 公司 U-4100 紫外-可见分光光度计测试光照前后罗丹明 B 溶液的吸光度, 按最高吸收峰强度的变化可计算出罗丹明 B 的分解率, 作为薄膜光催化活性的评价指标。罗丹明 B 的分解率与其吸光度存在如下关系<sup>[11]</sup>:

$$P = \frac{A_0 - A_t}{A_0} \times 100\%$$

式中  $P$  为溶液中罗丹明 B 的分解率,  $A_0$ 、 $A_t$  分别为光照前后溶液的吸光度。

## 3 结果和讨论

### 3.1 氧化锡溶胶的 XRD 分析

图 1 是低温制备的  $\text{SnO}_2$  溶胶在 60°C 烘干后所得粉体的 XRD 图谱。图中各峰均为  $\text{SnO}_2$  的特征峰, 说明溶胶中只有金红石型  $\text{SnO}_2$ 。图中各峰均出现宽化现象, 说明  $\text{SnO}_2$  晶粒较小, 同时结晶不完善, 存在缺陷。

### 3.2 薄膜 UV-Vis 吸收光谱分析

图 2 是不同薄膜的紫外可见吸收光谱图。由图可见, 由于  $\text{SnO}_2$  的禁带宽度高于  $\text{TiO}_2$ , 因此单一的  $\text{SnO}_2$  薄膜的吸收边比  $\text{TiO}_2$  薄膜更靠近紫外波段。3# 复合膜相对  $\text{TiO}_2$  薄膜发生了红移, 主要归因于  $\text{TiO}_2/\text{SnO}_2$  复合膜在界面处形成了异质结结构,  $\text{SnO}_2$  导带进入了  $\text{TiO}_2$  禁带, 成为中间能级, 从而降低禁带宽度, 使光吸收边稍微红移<sup>[6,7]</sup>。

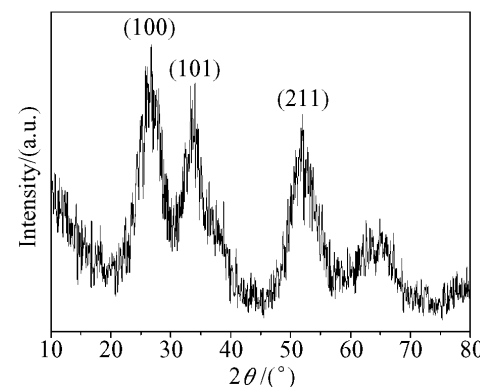


图 1  $\text{SnO}_2$  溶胶 60°C 烘干粉末的 XRD 图谱

Fig. 1 XRD pattern of the powder obtained from  $\text{SnO}_2$  sol dried at 60°C

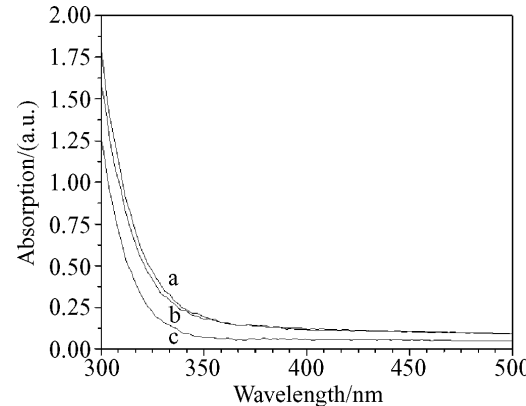


图 2 薄膜的紫外可见吸收光谱图

Fig. 2 UV-Vis absorption spectra of films

(a) 3#( $\text{TiO}_2/\text{SnO}_2$  film); (b)  $\text{TiO}_2$  film; (c)  $\text{SnO}_2$  film

### 3.3 薄膜的 SEM 观察

图 3 是不同薄膜的 SEM 图片。图中  $\text{TiO}_2$  薄膜比较致密, 而  $\text{SnO}_2$  薄膜则呈现出多孔的结构, 这与 K. Vi-gopal 等人的文献报道相符<sup>[4]</sup>。由于受底层  $\text{SnO}_2$  薄膜多孔性的影响, 复合膜表层的  $\text{TiO}_2$  薄膜也呈现出多孔的结构。

### 3.4 薄膜的荧光发射光谱分析

图 4 是不同  $\text{SnO}_2$  薄膜层数对  $\text{TiO}_2/\text{SnO}_2$  复合膜的荧光发射光谱图。锐钛矿  $\text{TiO}_2$  的禁带宽度为 3.2eV(387nm), 由于纳米量子效应使制备的薄膜禁带将稍有提高, 当使用激发能量高于禁带宽度时, 价带电子将可以转移到导带, 图中对应的 385nm 左右的峰归属于导带电子转移到价带引起的<sup>[13]</sup>。同时所制备的  $\text{SnO}_2$  薄膜由于内部缺陷, 在 355nm 紫外线激发下具有荧光效应。<sup>2#</sup> 复合膜  $\text{SnO}_2$  薄膜较薄,  $\text{TiO}_2$  的电子只有少部分迁移到  $\text{SnO}_2$  导带上, 因此不能有效抑制光生电子-空穴的复合, 此时荧光强度为  $\text{TiO}_2$ 、 $\text{SnO}_2$  各自荧光强度的叠加, 所以<sup>2#</sup> 复合膜其荧光强度要强于  $\text{TiO}_2$  薄膜。随着  $\text{SnO}_2$  膜层厚度的增加,<sup>3#</sup>、<sup>4#</sup> 复合膜中光生

电子-空穴能较好分离, 降低了它们的复合率, 所以荧光强度变弱; 其中<sup>4#</sup> 复合膜由于  $\text{SnO}_2$  层较厚, 影响了  $\text{SnO}_2$  层内部空穴向  $\text{TiO}_2$  层的迁移, 导致  $\text{SnO}_2$  层内光生电子-空穴复合增加, 故其荧光强度略大于<sup>3#</sup> 复合膜。

### 3.5 不同 $\text{SnO}_2$ 层数复合膜对光催化活性的影响

图 5 为复合膜中不同  $\text{SnO}_2$  层数对薄膜光催化降解罗丹明 B 的影响。可以看出, 复合膜的光催化性均比纯  $\text{TiO}_2$  薄膜的光催化性好, 其中<sup>3#</sup> 复合膜光催化性提高最为显著。由于复合膜降低了  $\text{TiO}_2$  层光生电子-空穴对的复合, 同时  $\text{SnO}_2$  层的空穴注入到  $\text{TiO}_2$  层, 提高了其表面的空穴浓度, 所以复合膜光催化性得到提高。由前述, <sup>2#</sup> 复合膜内  $\text{SnO}_2$  未起到很好分离光生电子-空穴的作用, 但由于  $\text{SnO}_2$  本身在紫外光照射下也具有光催化性, 所以<sup>2#</sup> 复合膜光催化性稍强于纯的  $\text{TiO}_2$  薄膜。<sup>3#</sup> 复合膜  $\text{SnO}_2$  膜厚适当, 由图 4 可知其荧光强度最弱, 说明复合膜内的电子-空穴能很好分离, 复合率很低, 所以光催化降解率明显提高。<sup>4#</sup> 复合膜的膜厚影响了  $\text{SnO}_2$  膜内的空穴迁移, 降低了复

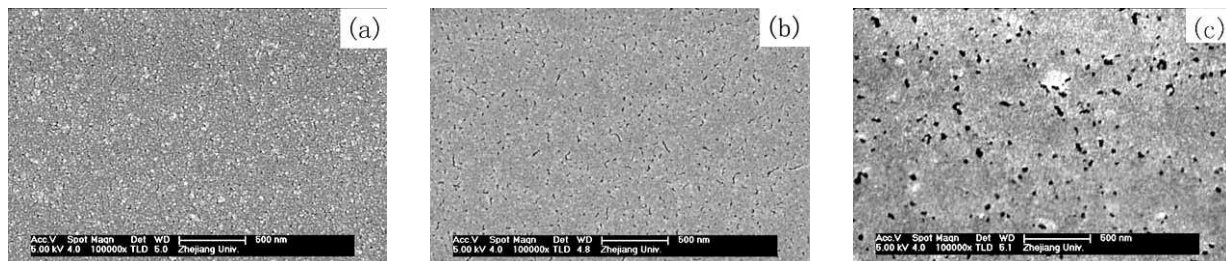


图 3 不同薄膜的 SEM 图片

Fig. 3 SEM images of different films

(a)  $\text{TiO}_2$  film; (b)  $\text{SnO}_2$  film; (c)<sup>3#</sup> ( $\text{TiO}_2/\text{SnO}_2$  film)

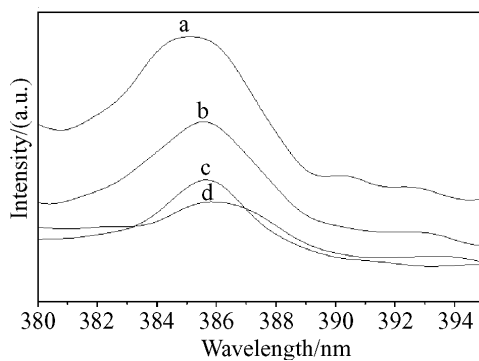


图 4  $\text{SnO}_2$  层不同提拉次数对  $\text{TiO}_2/\text{SnO}_2$  复合膜荧光发射谱影响

Fig. 4 Influence of the different dip-coating times of the  $\text{SnO}_2$  layer on the fluorescence emission spectra of  $\text{TiO}_2/\text{SnO}_2$  composite films

(a) <sup>2#</sup> ( $\text{TiO}_2/\text{SnO}_2$  film); (b) <sup>1#</sup> ( $\text{TiO}_2$  film); (c) <sup>4#</sup> ( $\text{TiO}_2/\text{SnO}_2$  film); (d) <sup>3#</sup> ( $\text{TiO}_2/\text{SnO}_2$  film)

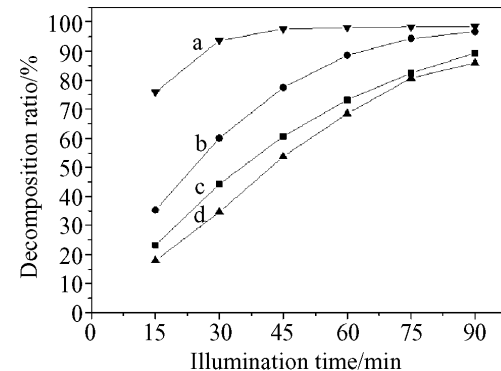


图 5  $\text{SnO}_2$  层不同提拉次数对  $\text{TiO}_2/\text{SnO}_2$  复合膜光催化降解罗丹明 B 的影响

Fig. 5 Influence of different dip-coating times of the  $\text{SnO}_2$  layer on the degradation of rhodamine B on  $\text{TiO}_2/\text{SnO}_2$  composite films

(a) <sup>3#</sup> ( $\text{TiO}_2/\text{SnO}_2$  film); (b) <sup>4#</sup> ( $\text{TiO}_2/\text{SnO}_2$  film); (c) <sup>2#</sup> ( $\text{TiO}_2/\text{SnO}_2$  film); (d) <sup>1#</sup> ( $\text{TiO}_2$  film)

合膜表面的空穴浓度，所以其光催化性低于3#复合膜。

图6给出了 $\text{TiO}_2/\text{SnO}_2$ 复合膜电子-空穴分离过程和 $\text{TiO}_2$ 、 $\text{SnO}_2$ 禁带内电子空穴转移方向。由于 $\text{TiO}_2$ 和 $\text{SnO}_2$ 的导带(CB)分别位于-0.34(V)和+0.07(V)处，而价带(VB)分别位于+2.87(V)和+3.67(V)处(相对于pH=7时的标准氢电极电势)<sup>[10]</sup>。所以 $\text{TiO}_2$ 的导带电子可以迁移到 $\text{SnO}_2$ 的导带上( $e_{\text{cb}}^-(\text{TiO}_2) \rightarrow e_{\text{cb}}^-(\text{SnO}_2)$ )，而 $\text{SnO}_2$ 的价带上的空穴就迁移到 $\text{TiO}_2$ 的价带上( $h_{\text{vb}}^+(\text{SnO}_2) \rightarrow h_{\text{vb}}^+(\text{TiO}_2)$ )。因此 $\text{TiO}_2/\text{SnO}_2$ 复合膜的光生电子和空穴可以有效分离，使电子和空穴复合几率减少<sup>[9]</sup>。

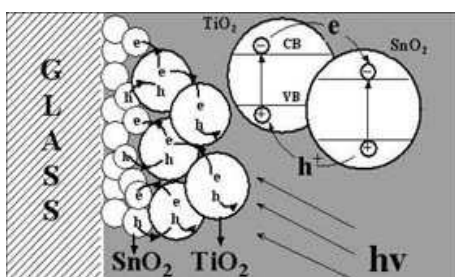
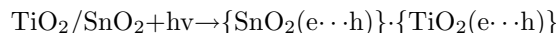


图6  $\text{TiO}_2/\text{SnO}_2$  复合膜的光激发示意图

Fig. 6 Schematic diagram of photoexcitation in  $\text{TiO}_2/\text{SnO}_2$  composite film

### 3.6 复合膜光催化活性提高的机理探讨



式(1)、(2)、(3)为复合膜光催化过程相关的化学反应方程式<sup>[4]</sup>。(1)式为紫外光照射下， $\text{TiO}_2$ 、 $\text{SnO}_2$ 先产生电子空穴对，然后其中光生电子向 $\text{SnO}_2$ 层的转移，而空穴则注入到 $\text{TiO}_2$ 层，使得 $\text{TiO}_2/\text{SnO}_2$ 复合膜表面空穴浓度增大。由于本实验的光催化体系是液-固光催化体系，而该种体系主要是靠 $\text{TiO}_2$ 空穴与表面吸附的 $\text{H}_2\text{O}$ 或 $\text{OH}^-$ ，通过离子反应(2)生成强氧化性的羟基自由基( $\text{OH}^\bullet$ )，然后利用其来进行光催化降解罗丹明B(反应(3))。由于复合膜表面空穴浓度增大，因此大大提高了对罗丹明B的分解率。

## 4 结论

1. 采用溶胶-凝胶法，避免了常见研究中必须晶化热处理的工艺步骤，在低温下制备出 $\text{TiO}_2/\text{SnO}_2$ 复合膜。

2. 所制备的 $\text{TiO}_2/\text{SnO}_2$ 复合膜具有优于单一 $\text{TiO}_2$ 薄膜的光催化性。随着 $\text{SnO}_2$ 层数的增加，复合膜的光催化活性先增大后减小，层数为3层时，光催化活性达到最大。

3.  $\text{TiO}_2/\text{SnO}_2$ 复合膜光催化活性的提高主要归结于表面 $\text{TiO}_2$ 层的光生电子注入到 $\text{SnO}_2$ 底层，有效抑制了 $\text{TiO}_2$ 光生电子-空穴对的复合，同时 $\text{SnO}_2$ 的空穴迁移到表层也增加了复合膜表面的空穴浓度。此外，复合膜表面的多孔结构对比表面积的提高，可能也是光催化活性增大的又一潜在原因。

## 参考文献

- [1] 张青红, 高濂, 郭景坤 (Zhang Qing-Hong, et al). 无机材料学报 (Journal of Inorganic Materials), 2000, **15** (3): 556-560.
- [2] Shang J, Yao W Q, Zhu Y F, et al. App1. Cata1. A:Gen. 2004, **257** (1): 25-32.
- [3] 李谦, 祝迎春, 毛立群, 等 (LI Qian, et al). 无机材料学报 (Journal of Inorganic Materials), 2003, **18** (4): 951-955.
- [4] Vinodgopal K, Bedja I, Kamat P V, et al. Chem. Mater., 1996, **8** (8): 2180-2187.
- [5] Kamat P V, Bedja I, Hotchandani S, et al. Phys. Chem., 1996, **100** (12): 4900-4908.
- [6] Nasr C, Kamat P V, Hotchandani S. Phys. Chem. B. 1998, **102** (49): 10047-10056.
- [7] Levy B, Liu W, Gilbert S. Phys. Chem. B, 1997, **101** (10): 1810-1816.
- [8] Tai W P, Inoue K, Oha J H. Solar Energy Mater. Solar Cells., 2002, **71** (4): 553-557.
- [9] Hattori A, Tokihisa Y, Tada H, et al. J. Sol-Gel Sci. Technol, 2001, **22** (1-2): 53-61.
- [10] Hattori A, Tokihisa Y, Tada H, et al. J. Electrochem. Soc., 2000, **147** (6): 2279-2283.
- [11] 杨辉, 申乾宏, 高基伟. 催化学报, 2005, **26** (10): 839-841.
- [12] 方明, 高基伟, 申乾宏, 等 (Fang Ming, et al). 硅酸盐学报 (Journal of the Chinese Ceramic Society), 2006, **34** (4): 46-49.
- [13] Tian Y, Cao W H, Xia T, et al. Journal of Functional Materials, 2005, **36** (9): 1447-1450.